

渴水確率降水量の統計解析

紙井 泰典¹・宮脇 修²・近森 邦英³

Statistical Analysis of Precipitation in Drought Period

Yasunori Kamii¹, Osamu Miyawaki² and Kunihide Chikamori³

Abstract: Yearly and monthly probabilistic precipitations at 53 observatories in Japan are analyzed by cluster analysis. The yearly and monthly data analysed are of the stations which have data for more than 98 years. They are placed in ascending order and converted to probabilistic precipitations by *Weibull plotting position*, i.e., the return period T is calculated by the formula; $T = i/(N+1)$ (i : order number of the data arranged in ascending magnitude, N : number of data(years)). Firstly, six different clustering methodologies, namely, nearest neighbor method, furthest neighbor method, group average method, centroid method, median method and Ward method are applied to yearly probabilistic precipitation. Among these six methods, the nearest neighbor method gives a different dendrogram from others and among the rest, the furthest neighbor method seems to give a reasonable result from the point of view of ascending order magnitude of the clusters. By applying this method, it is found that the clustered districts do not coincide with such stereotyped geographical or meteorological districts as Hokkaido, Tohoku, Kanto, Hokuriku, Chubu, Tokai, Kinki, Chugoku, Shikoku, or Sanin, Setouchi, Nankai and Kyushu. Secondly, monthly probabilistic precipitations are analyzed by this method. The characteristics of precipitation, obtained from these cluster analyses, seem to provide useful information for rainfall utilization purposes.

1はじめに

雨水の資源化の観点から降水量を考えるとき、各地の年間あるいは月間降水量及びその季節毎のパターンを、長期的な渴水確率降水量と結びつけて地域類型として明らかにできれば便利であろう。ここでは、測定年数98年間以上の気象庁の全国53観測点の年間及び1~12月渴水降水量を、トーマス・プロットによりリターン・ピリオド2年、5年、10年、20年、50年について求め、クラスター分析の手法により解析し、各地の年間および月間確率降水量の特徴とグループ性を明らかにすることを試みた。

2リターン・ピリオドの計算

トーマス・プロット(*Weibull plot*)によるリターン・ピリオドは、次式で表される(Chow, 1964)。

$$T = \frac{i}{N+1} \quad (1)$$

ここに、 T : リターン・ピリオド、 i : 年間または月間雨量を年毎に昇べき順に並べたときの順位、 N : データ数、各地点ともおおよそ98~100個をとった。一部欠測があったが、分析には支障がないと考えてそのまま集計した。各測定地点におけるリターン・ピリオド(T)毎の年間渴水確率降水量を表1に、また各測定地点の位置と高度を表2に示す。表1を見ると、いずれのリターン・ピリオドでも北海道・東北・甲信・瀬戸

内地方は渴水確率年降水量が小さく、九州・南四国・北陸地方は大きい。東北でも青森は降水量が中位であり、秋田は比較的大きい。網走・長野・根室・大阪・鹿児島・伏木・岐阜・巣原・高知・名瀬のように $T=2$ 年から $T=50$ 年まで順位がほとんど変動しない地点がある反面、松山・呉・広島・下関・津・石垣・那覇のように T が長くなると順位が相対的に上昇していく地点、また旭川・広島・青森・彦根・新潟・秋田のように順位が下降していく地点がある。上昇地点は下降地点よりも長期的に大渴水に会う危険性が高いと考えられる。

3クラスター分析

クラスター分析は、複数の変数值を持つ複数種類のデータから、近い関係にあるもの、遠い関係にあるものを計算し、近いものから順に群(クラスター)として束ね、分類する統計手法である。ここでは、排他的、外的基準なしの階層的クラスター分析を行った。類似度/非類似度の測度の計算には、ユークリッド平方距離を用いた。分析手法としては、

- (1) 最短距離法(クラスター間の距離を、各々のクラスター内に含まれる測点間の最短距離にとる)。
- (2) 最長距離法(クラスター間の距離を、各々のクラスター内に含まれる測点間の最長距離にとる)。
- (3) 群平均法(クラスターの座標を、そのクラスターに含まれる測点位置の平均値とする)。
- (4) 重心法(クラスターの座標を、元のクラスターの重心位置にとる)。
- (5) メジアン法(クラスターの座標を、元のクラスターの中点にとる)。
- (6) ウォード法(クラスターを作るとき、クラスター内の各測点の偏差平方和を最小とするようにする)。

を用いた(田中ら, 1984)。

¹高知大学農学部助教授, Associate Professor, Faculty of Agriculture, Kochi University, Otsu 200, Monobe, Nankoku-shi, Kochi-ken, 783-8502, Japan

²高知市役所, Officer, Kochi Municipal Office, 5-1-45, Honmachi, Kochi-shi, 780-0870, Japan

³高知大学名誉教授, Professor Emeritus of Kochi University, Rm.1103, Surpas Daini Asahimachi, 2-22-57, Asahimachi, Kochi-shi, 780-0935, Japan

表1: 各測定地点のリターン・ピリオド毎の渴水確率年降水量 (mm/年)

地点名	$T=2$	地点名	$T=5$	地点名	$T=10$	地点名	$T=20$	地点名	$T=50$
網走	842.1	網走	699.3	網走	643.3	網走	615.6	長野	557.7
長野	979.1	長野	848.1	根室	747.8	根室	711.9	網走	578.1
根室	1005.0	根室	856.5	長野	803.5	長野	723.7	根室	654.7
石巻	1091.5	石巻	925.2	甲府	845.0	甲府	795.5	岡山	691.8
札幌	1094.5	旭川	969.4	岡山	851.6	福島	798.9	多度津	700.3
旭川	1102.9	札幌	973.3	石巻	855.4	石巻	809.8	福島	700.7
多度津	1122.5	福島	991.0	多度津	860.2	岡山	813.3	甲府	725.0
岡山	1138.7	甲府	996.5	札幌	891.2	多度津	818.2	札幌	727.3
甲府	1142.1	多度津	996.8	福島	893.8	札幌	855.9	石巻	747.8
函館	1152.0	岡山	1011.3	旭川	899.3	旭川	864.3	松山	760.2
福島	1164.0	函館	1015.1	宮古	932.1	前橋	879.5	神戸	783.8
山形	1205.9	山形	1045.2	前橋	950.4	宮古	882.1	広島	785.8
寿都	1226.0	前橋	1051.5	山形	957.1	山形	927.4	吳	786.6
前橋	1231.5	寿都	1086.0	函館	957.5	神戸	934.9	旭川	793.6
神戸	1315.5	宮古	1087.6	寿都	1017.6	寿都	942.8	山形	810.6
宮古	1325.8	神戸	1122.0	神戸	1046.8	函館	944.7	前橋	816.5
大阪	1328.8	大阪	1135.7	和歌山	1050.0	大阪	949.6	大阪	818.7
松山	1333.9	松山	1139.6	大阪	1056.3	和歌山	974.7	宮古	823.7
青森	1337.0	和歌山	1193.5	松山	1066.3	松山	996.9	寿都	825.1
水戸	1397.7	青森	1212.5	吳	1132.5	吳	1020.5	函館	884.0
吳	1406.3	吳	1235.5	東京	1141.1	東京	1040.4	水戸	893.9
和歌山	1442.6	水戸	1236.5	徳島	1151.2	徳島	1048.3	和歌山	894.1
宇都宮	1500.6	宇都宮	1308.8	水戸	1156.4	広島	1075.4	徳島	966.9
広島	1535.6	東京	1310.9	青森	1156.9	水戸	1093.0	下関	972.4
東京	1546.8	広島	1313.0	宇都宮	1187.4	青森	1094.5	京都	983.9
京都	1573.6	大分	1324.7	名古屋	1229.3	名古屋	1106.1	宇都宮	989.5
名古屋	1601.9	徳島	1337.2	広島	1235.5	銚子	1127.3	福岡	1002.6
福岡	1604.9	名古屋	1339.7	大分	1239.7	宇都宮	1134.1	青森	1010.4
徳島	1624.9	京都	1341.8	京都	1266.3	横浜	1141.1	東京	1011.5
大分	1631.9	福岡	1364.4	横浜	1279.4	大分	1148.4	大分	1041.0
彦根	1642.2	彦根	1434.2	福岡	1286.7	京都	1148.5	津	1047.1
下関	1643.2	横浜	1435.5	銚子	1303.2	下関	1172.2	横浜	1063.0
浜田	1645.8	浜田	1455.1	津	1326.0	津	1181.8	銚子	1065.7
銚子	1680.7	津	1458.0	浜田	1349.9	福岡	1184.7	佐賀	1067.6
横浜	1695.4	下関	1464.8	下関	1357.4	彦根	1242.0	那覇	1070.8
秋田	1744.8	銚子	1482.7	彦根	1375.7	熊本	1284.6	名古屋	1090.9
津	1745.8	佐賀	1544.1	熊本	1401.2	浜田	1304.7	浜田	1126.6
新潟	1820.3	熊本	1561.2	佐賀	1446.5	佐賀	1331.8	熊本	1129.6
佐賀	1830.9	秋田	1569.5	浜松	1450.0	岐阜	1344.7	彦根	1138.2
熊本	1851.5	新潟	1573.4	長崎	1468.3	浜松	1346.0	石垣	1193.0
岐阜	1931.7	長崎	1621.0	岐阜	1492.4	長崎	1360.5	浜松	1200.2
浜松	1940.5	岐阜	1632.0	秋田	1497.2	石垣	1381.0	岐阜	1227.1
長崎	1945.1	浜松	1671.3	新潟	1504.6	那覇	1397.3	長崎	1243.4
境	1949.0	那覇	1695.4	那覇	1520.6	秋田	1428.6	境	1306.3
那覇	2107.9	境	1773.2	石垣	1543.9	新潟	1465.2	秋田	1328.8
石垣	2121.7	石垣	1774.5	厳原	1617.6	厳原	1497.2	厳原	1411.6
厳原	2152.3	厳原	1837.6	境	1677.0	境	1584.6	新潟	1430.4
鹿児島	2229.5	鹿児島	1873.2	鹿児島	1721.1	鹿児島	1604.3	鹿児島	1519.9
伏木	2240.2	伏木	1993.6	伏木	1860.3	伏木	1792.0	宮崎	1623.5
金沢	2547.9	宮崎	2045.6	宮崎	1910.4	宮崎	1822.1	伏木	1683.3
高知	2587.5	高知	2203.0	高知	2037.7	高知	1911.5	高知	1800.0
宮崎	2592.5	金沢	2254.8	金沢	2143.5	金沢	2029.5	名瀬	1834.0
名瀬	3078.0	名瀬	2559.0	名瀬	2257.5	名瀬	2061.3	金沢	1866.7

4 解析結果

リターン・ピリオド 2 年, 5 年, 10 年, 20 年, 50 年の渴水確率年降水量についてクラスター分析した結果のデンドログラム(樹形図)を図 1(a),(b),(c),(d),(e),(f)に示す。樹形図の枝の長さはほぼクラスター間の距離の長短を表わしているが、低位のクラスターについては、見やすさを重視して画一的長さによって作図している。

図 1(a)(最短距離法)は、他の 5 手法(図 1(b)-(f))の樹形図とは異なる形となっている。これはクラスター内の最短距離のもの同士が一緒になって次の段階のクラスターを構成するため、このようにクラスターを次々と連結していく形となると考えられる。

類似度の高いのは岡山=多度津、岐阜=長崎、山形=前橋、神戸=大阪、京都=福岡、銚子=横浜などである。岡山=多度津、神戸=大阪のように地理的に近接しているものもあるが、岐阜=長崎、京都=福岡のように地理的には遠くても類似度の高い地点もある。確率年降水量によってクラスター分けをしているから、類似度の高い地点同士は年降水量もそう違わない。旭川が先頭であるが、これは旭川が他の地点と比べて特に隔たった年降水量を示すということではなく、使用したデータの最初が旭川であったためである。

図 1(a)の樹形図の地点順は、大まかに言って表 1 のそれと大差がない。表 1 と同様、図 1(a)においても、上位よりは下位の地点の方が年降水量が多いと考えられる。図 1(a)を上から順に見ていくと、彦根くらいまでは比較的近距離(低位)でクラスターが構成されているが、図の下の方に位置する地点は、枝が長く、他との類似度が高くなかった。つまり、下に出てくる西南日本や北陸などの地域は、他の地域とはかけ離れた(大きな)降水量を持っている地点であると考えられる。ただし、網走については雨量が小さいにもかかわらず(表 1), 伏木その他の雨量の大きい地域の近くに置かれている不自然さが認められる。最短距離法では、クラスター統合の際、2番目に近いものなどは無視されるため、このような不合理も起こると考えられる。

図 1(b)(最長距離法)は、配置順が(a)よりもっと表 1 と似ている。網走、根室、長野のグループが下の方に位置しているほかはほぼ確率降水量の大小によって分けられており、最短距離法よりも合理的と考えられる。樹形図を分類上位の方から見ていくと、全国は金沢・高知・伏木・宮崎・名瀬の西南海・南北陸ブロックとその他ブロックとに大別され、その他ブロックは北海道・東東北・東南瀬戸内・西北近畿・上甲信ブロックと西東北・関東・近畿・西瀬戸内・東南海・北北陸・山陰・東海・九州ブロックに分けられる。これらは必ずしも北海道・東北・関東・北陸・東海・中部・近畿・中国・四国・あるいは山陰・瀬戸内・南海・九州といった地理的・気候的区分とは一致していない。

図 1(c)は群平均法の樹形図である。細部の違いはあるが、図 1(b)に酷似している。図 1(d)は重心法の樹形図である。降水量の大きい地点で一つの大きなクラスターを形成しているのが特徴である。

図 1(e)はメジアン法の樹形図である。広島の分類が図 1(b)(最長距離法)と違う。またクラスター分割の順序が、図 1(b)では中雨地域とやや多雨地域とをクラスターとした後、少雨地域をクラスターしてから多

雨地域と結んでいるが、図 1(e)は中雨地域～やや多雨地域～多雨地域とクラスターしてから少雨地域と結んでいる。つまり(b)では多雨地域を独立性の高いグループとみているのであるが、(e)では少雨グループを独立性の高いグループとみていることになる。

図 1(f)(ウォード法)は図 1(b)と似ている。(b)との違いはやや多雨地域を中雨地域と一緒にまとめている点であろう。このようにして 6 種類の樹形図を作ったが、図 1(a)以外はかなり似ており、いくつも作る必要はないと考えて、次の 1~12 月降水量のクラスター分析では、考え方として単純で、割合に降雨量の多寡との対比の明瞭な最長距離法を用いることとした。

表 2: 各測定地点の位置と高度

番号	地点名	北緯 (度)	東經 (度)	高度 (m)
		(分)	(分)	
407	旭川	43	142	22.4
409	網走	44	144	17.0
412	札幌	43	141	19.9
420	根室	43	145	35.4
421	寿都	42	140	13.6
430	函館	41	140	45.4
575	青森	40	140	46.3
582	秋田	39	140	6.2
585	宮古	39	141	58.1
588	山形	38	140	20.9
592	石巻	38	141	153
595	福島	37	140	42.5
604	新潟	37	139	28.5
605	金沢	36	136	1.9
606	伏木	36	137	5.7
610	長野	36	138	418
615	宇都宮	36	139	11.6
624	前橋	36	139	119
629	水戸	36	140	29.3
632	岐阜	35	136	12.7
636	名古屋	35	136	58.1
638	甲府	35	138	273
648	銚子	35	140	20.1
651	津	34	136	31.4
654	浜松	34	137	2.6
662	東京	35	139	31.7
670	横浜	35	139	5.3
742	境	35	139	39.4
755	浜田	35	133	2.0
759	京都	35	132	19.0
761	彦根	35	135	44.0
762	下関	33	136	87.3
765	広島	34	136	3.3
766	吳	34	132	28.0
768	岡山	34	133	3.5
770	神戸	34	133	55.1
772	大阪	34	135	2.8
777	和歌山	34	135	57.5
800	嚴原	34	129	10.0
807	福岡	33	129	13.9
813	佐賀	33	129	22.6
815	大分	33	131	3.8
831	長崎	32	129	4.6
819	熊本	32	130	26.9
827	鹿児島	31	130	37.7
830	宮崎	31	131	42.6
887	松山	33	131	4.2
890	多度津	34	132	32.2
893	高知	33	129	3.7
895	徳島	34	129	1.9
909	名瀬	28	124	1.6
918	石垣島	24	124	2.8
936	那覇	26	127	5.7

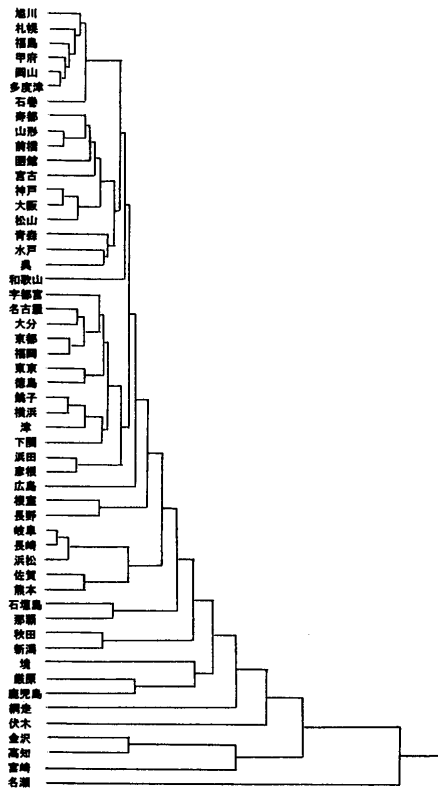


図1(a): 最短距離法による渴水年
降水量のデンドログラム

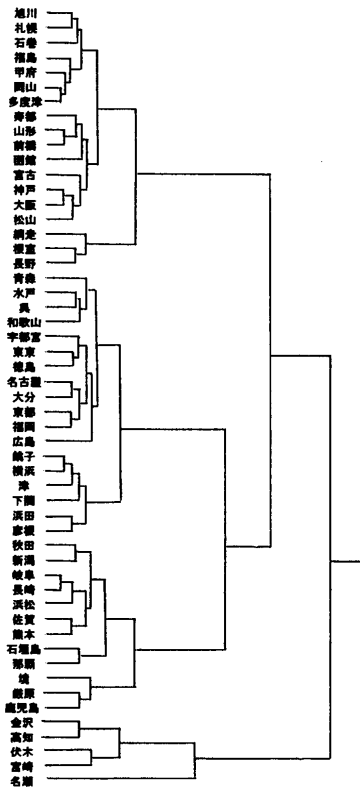


図 1(b): 最長距離法による渴水年
降水量のデンドログラム

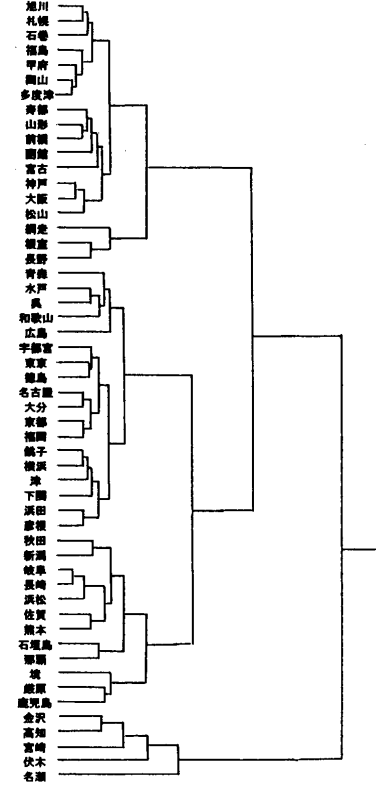


図1(c): 群平均法による渴水年降水量のデンドログラム

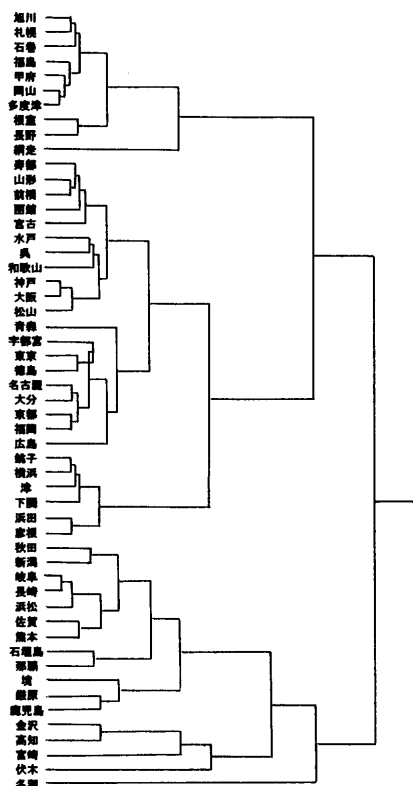


図1(d): 重心法による渴水年降雨量のデンドログラム

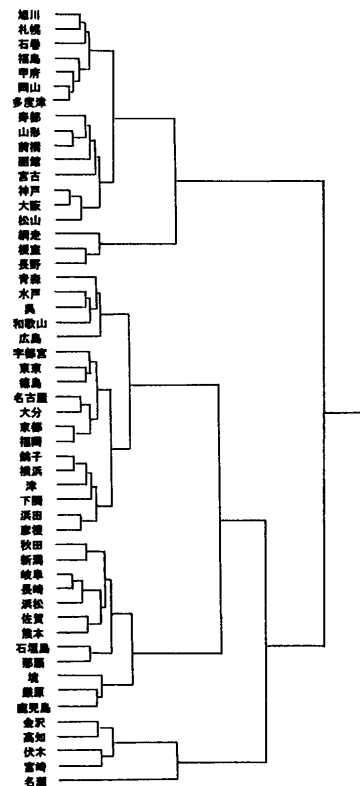


図1(e): メジアン法による渴水年
降水量のデンドログラム

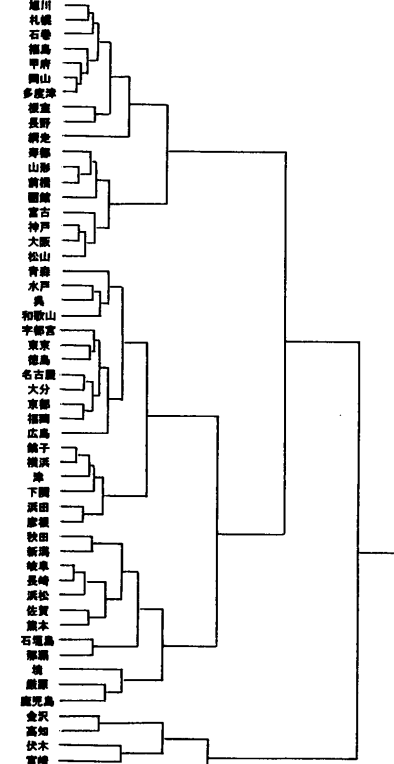


図1(f): ウォード法による渴水年
降水量のデンドログラム

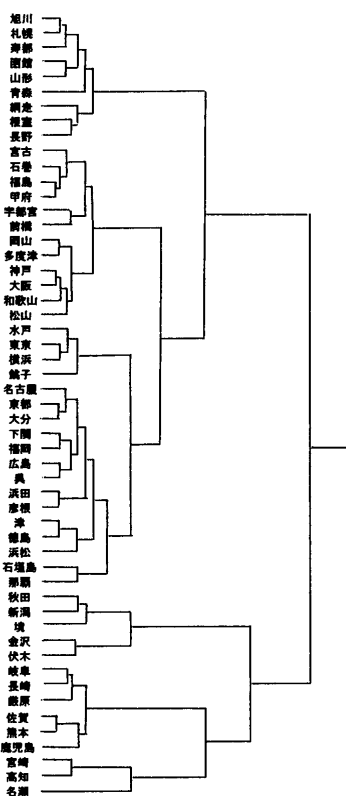


図2(a): $T = 2$ 年の 1~12 月のデンドログラム

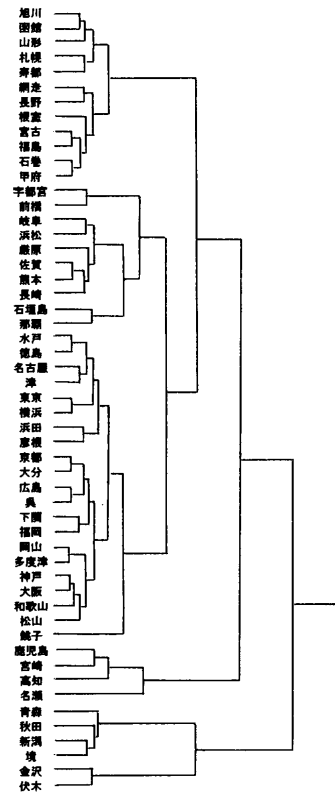


図2(b): $T = 5$ 年の 1~12 月のデンドログラム

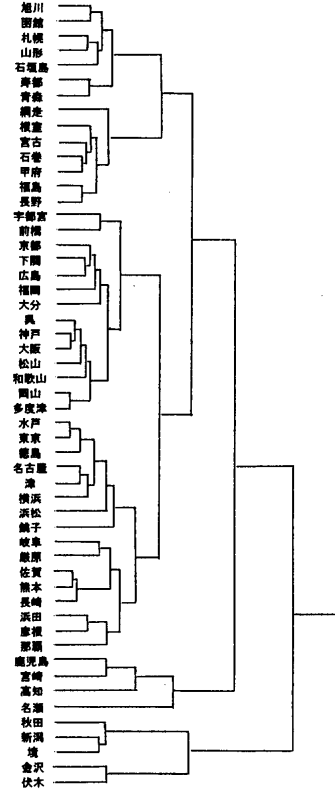


図2(c): $T = 10$ 年の1~12月のデンドログラム

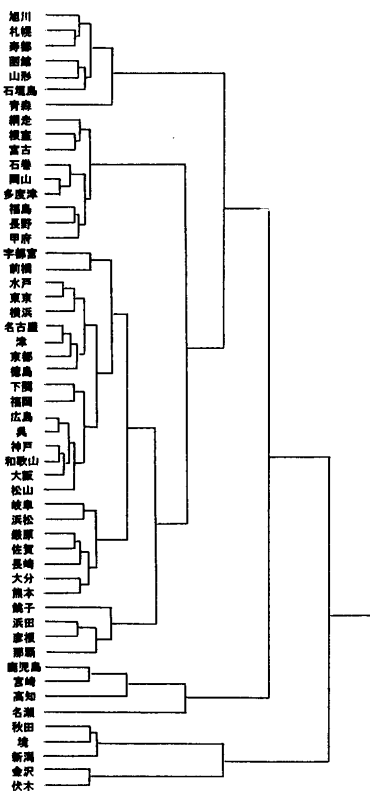


図 2(d): $T = 20$ 年の 1~12 月のデンドログラム

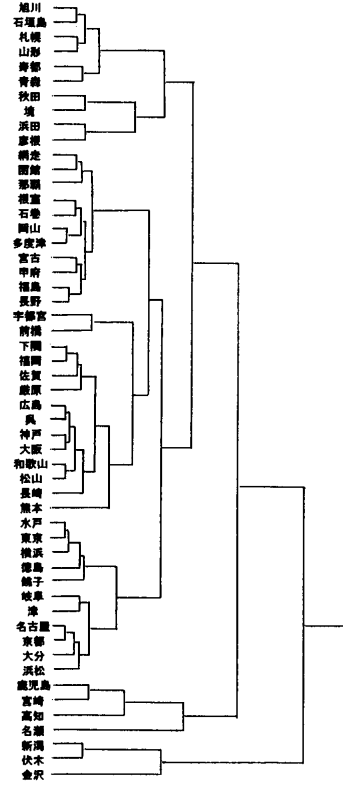


図 2(e): $T = 50$ 年の 1~12 月のデンドログラム

図2(a),(b),(c),(d),(e)に、リターン・ピリオド2年、5年、10年、20年、50年確率の月間降水量の最長距離法による樹形図を示す。図2(a)($T = 2$ 年)の樹形図を高位の方から見ていくと、全国は旭川から那覇までのブロックと、秋田から名瀬までのブロックとに分けられる。後者は北陸、九州、南海地域を主としているが、秋田・岐阜を含み、また秋田、新潟、境、金沢、伏木の裏日本グループの独立性が高い。前者は北海道・青森・山形・長野の第一グループ、東南東北・北関東・東南瀬戸内・西近畿の第二グループ、東南関東の第三グループ、東海・東近畿・西北瀬戸内・北九州と浜田・沖縄の第四グループからなる。この中で旭川から長野までのグループは $T = 2$ 年確率降水量が800～1200mm、年間の降雨変動が少なく、夏季にやや降水量が多く、2～5月にやや少雨となる地域である。宮古から松山までのグループは年確率降水量1000～1400mm、6～10月に確率降水量が100mmを越え、12, 1, 2月の降水量が少ない。

水戸から那覇までのグループは、年確率降水量1500～2200mmで、4～10月特に6～9月に確率降水量が多い。秋田から伏木までのグループは、年確率降水量が1700～2200mmで、年間とおして降水量が多く、特に7, 9, 12, 1月の降水量が多い。岐阜から鹿児島までのグループは年確率降水量が1800～2200mm、3～9月、特に6～7月の確率降水量が月200mmにも達する。宮崎・高知・名瀬は年確率降水量が2500～3100mmで、特に4～9月は月間降水量が200mmを越えるのが特徴である。

図2(e)($T = 50$ 年)を見ると、旭川から名瀬までのブロックと、新潟、伏木、金沢のブロックとに大別される。後者は北陸であり、 $T = 50$ 年降水量が1400～1800mmで、冬季の降水量が月100mmを越える地域である。前者の中では鹿児島、宮崎、高知、名瀬の南海

ブロックは年間確率降水量が1500～1800mmで、冬季よりも夏季に降水量が多い。旭川、石垣島、札幌、山形、寿都、青森、秋田、境、浜田、彦根の道央・西東北・山陰・石垣島・彦根のグループは、年間確率降水量が800～1300mmで、夏季から10月にかけて降水量が少ないのが特徴である。宇都宮から熊本までのグループはいずれも冬季と8月に渴水となる傾向がある。水戸から浜松までのグループは年確率降水量が800～1200mmで、冬季と7, 8月に雨量が少なく、9, 10月に多いのが特徴である。

5 おわりに

渴水確率年・月降雨量について、全国53地点をクラスター分類した結果、以下のことがわかった。

- (1) 分類法別では最短距離法だけが特異な樹形図を示すが、他の5方法は比較的類似していた。
- (2) 渴水確率年雨量は、最長距離法によっておおむね降水量の大小による地域分類が可能である。
- (3) 最長距離法による渴水確率年降水量の分類では、地理的・気候的区分と合致するものとしないものとがあった。
- (4) 月確率降水量を用いてクラスター分析をした結果、月毎に降水量の多い地点、少ない地点をグループ化することができた。

これらのことからクラスター分析により全国の地域を、雨水資源の賦存量や長短期の年間変動の地域的特徴によって分類できることがわかった。

引用文献

- [1] 田中 豊・垂水共之・脇本和昌(1984):パソコン統計解析ハンドブックII多変量解析編、共立出版、pp.226-251.
- [2] Chow, V. T. (1964): *Handbook of Applied Hydrology*, McGraw-Hill, pp.8-29.